

## РЕШЕНИЕ ЗАДАЧИ ОПТИМАЛЬНОГО УПРАВЛЕНИЯ ЛИНЕЙНЫМИ ОБЪЕКТАМИ ПРИ КВАДРАТИЧЕСКИХ КРИТЕРИЯХ КАЧЕСТВА

Статья посвящена решению задач оптимального квадратичного скалярного управления линейными динамическими объектами  $n$ -го порядка на основе использования в контуре регулятора разработанных авторами улучшенных фильтров переменных состояния и методики определения коэффициентов его матрицы.

Применение улучшенных фильтров переменных состояния приводит к улучшению эффективности управления. Предложенная методика определения матрицы регулятора приводит к упрощению вычисления её коэффициентов в особенности при высоких порядках объектов управления.

### Постановка задачи оптимального управления линейными объектами при квадратических критерия качества

Задача управления рассматривается в следующей постановке:

$$\min_{u, \sigma_{\Sigma}^2(\varepsilon)} \frac{1}{2} \left\{ \int_{t_1}^{t_2} (x^T Q x + u^T R u) dt \right\} \left. \begin{array}{l} \dot{x}(t) = A(t)x(t) + Bu(t) + G(t)w(t), \\ y(t) = C(t)x(t) + v(t), \\ M\hat{x} = Mx(t), Mw(t) = 0, Mv(t) = 0, \\ Cov[w(t), w(\tau)] = Q_w \delta(t - \tau), \\ Cov[v(t), v(\tau)] = R_v \delta(t - \tau), \\ Cov[w(t), v(\tau)] = 0, \\ Cov[w(t), \hat{x}(0)] = 0, \\ Cov[v(t), \hat{x}(0)] = 0 \\ Cov[\hat{x}(0), \hat{x}(0)] = P(0), \\ x(0) - \text{не известно}, \end{array} \right\}, \quad (1)$$

где  $U^0$  – открытое множество,  $Q$  – неотрицательно определенная диагональная матрица,  $R$  – положительно определенная матрица,  $\sigma_{\Sigma}^2(\varepsilon) = (Q_w, R_v, \varepsilon(0))$ ,  $\varepsilon(0) = x(0) - \hat{x}(0)$ . Как правило матрицы  $Q(q_1, \dots, q_n)$  и  $R(r_1, \dots, r_l)$  критерия качества являются диагональными.

Задача фильтрации рассматривается в следующей постановке:

© А.Г. Кикку, Е.Ю. Рева, В.Ю. Шейко, 2007

$$\hat{x}^* = \arg \left\{ \frac{\min}{L, K, B_\Phi} [\sigma_{\varepsilon(0)}^2 + tr P_\varepsilon] \left\{ \begin{array}{l} \dot{x}(t) = A(t)x(t) + Bu(t) + G(t)w(t), \\ y(t) = C(t)x(t) + v(t), \\ M\hat{x} = Mx(t), Mw(t) = 0, Mv(t) = 0, \\ Cov[w(t), w(\tau)] = Q_w \delta(t - \tau), \\ Cov[v(t), v(\tau)] = R_v \delta(t - \tau), \\ Cov[w(t), v(\tau)] = 0, Cov[w(t), \hat{x}(0)] = 0, \\ Cov[v(t), \hat{x}(0)] = 0, Cov[\hat{x}(0), \hat{x}(0)] = P(0), \\ x(0) - \text{не известно}, \\ \text{Структура фильтра:линейная} \end{array} \right. \right\} \quad (2)$$

Необходимо отметить, что в стандартной калмановской постановке задачи:

$$\hat{x}^* = \arg \left\{ \frac{\min}{L, K, B_\Phi} [tr P_\varepsilon] \left\{ \begin{array}{l} \dot{x}(t) = A(t)x(t) + Bu(t) + G(t)w(t), \\ y(t) = C(t)x(t) + v(t), \\ M\hat{x} = Mx(t), Mw(t) = 0, Mv(t) = 0, \\ Cov[w(t), w(\tau)] = Q_w \delta(t - \tau), \\ Cov[v(t), v(\tau)] = R_v \delta(t - \tau), \\ Cov[w(t), v(\tau)] = 0, Cov[w(t), \hat{x}(0)] = 0, \\ Cov[v(t), \hat{x}(0)] = 0, Cov[\hat{x}(0), \hat{x}(0)] = P(0), \\ x(0) - \text{не известно}, \\ \text{Структура фильтра:линейная} \end{array} \right. \right\} \quad (3)$$

отсутствует учёт влияния рассогласования  $\varepsilon(0) = x(0) - \hat{x}(0)$  начальных условий переменных состояния объекта и фильтра на качество фильтрации. Это приводит к тому, что стандартный фильтр Калмана не является оптимальным, а это в свою очередь приводит к неоптимальности регулятора.

Регулятор синтезирован на основе идей теоремы разделения и в данной работе представляет собой последовательное соединение оптимального квадратичного регулятора, синтезированного при наличии полной информации, и улучшенного фильтра.

При этом алгоритм управления имеет известный вид:

$$u^* = -R^{-1} B^T K x^*, \quad (4)$$

где матрица  $K$  определяется решением уравнения Риккати:

$$\dot{K} = -A^T K - KA + KBR^{-1}B^T K - Q, \quad (5)$$

На основе матрицы  $K$  определяется матрица усиления регулятора  $K_P$ :

$$K_P = -R^{-1} B^T K. \quad (6)$$

## Алгоритм решения задачи нахождения матрицы усиления регулятора

Нами обнаружено, что для рассмотренного случая матрица  $K_P$  представляет собой матрицу строку следующего вида:

$$K_P = -\frac{b}{R} [k_{1,n} \dots k_{i,n}]. \quad (7)$$

Соответственно алгоритму управления (4) имеет вид:

$$u^* = K_P x^* = -\frac{b}{R} \sum_{i=1}^n k_{i,n} x_i^* \quad (8)$$

Число уравнений, в которых участвуют коэффициенты матрицы  $K$ , зависит от порядка объекта  $n$  и равно:

$$m = \sum_{i=1}^n i \quad (9)$$

Например, при  $n = 1, m = 1$ ; при  $n = 2, m = 3$ ; при  $n = 3, m = 6$  и т.д.

Нами обнаружено, что если размерность  $l$  вектора управления  $u$  меньше порядка  $n$  объекта управления, то система избыточна. В частности для случая скалярного управления число, достаточное для нахождения коэффициентов матрицы управления, равно:

$$p = \begin{cases} 1 & \text{при } n = 1 \\ 2(n - 1) & \text{при } n > 1 \end{cases} \quad (10)$$

Таким образом, число избыточных уравнений равно:

$$s = m - p \quad (11)$$

При этом в полной и достаточной системах уравнений наблюдается регулярность для объектов вплоть до 4-го порядка.

1) Для полной системы уравнений:

а) уравнений имеют вид:

$$\frac{q_k}{2} - \frac{b^2}{2R} k_{k,n}^2 + k_{k-1,k} - a_{k-1} k_{k,n} = 0 \quad (12)$$

где  $k = 1..n$ . В случае  $k = 1$  уравнение будет иметь вид  $\frac{q_1}{2} - \frac{b^2}{2R} k_{1n}^2 - a_0 k_{1n} = 0$ , по той причине, что коэффициент  $k_{0,1}$  выходит за рамки определений коэффициентов матрицы  $K_P$  и равен 0.

б)  $n - 1$  уравнений имеют вид:

$$-\frac{b^2}{R} k_{1,n} k_{n+1-k,n} + k_{1,n-k} - a_0 k_{n+1-k,n} - a_{n-k} k_{1,n} = 0 \quad (13)$$

где  $k = 1..n - 1$ .

с)  $n - 2$  уравнений имеют вид:

$$-\frac{b^2}{R}k_{2,n}k_{n+1-k,n} + k_{1,n+1-k} + k_{2,n-k} - a_1k_{n+1-k,n} - a_{n-k}k_{2,n} = 0 \quad (14)$$

где  $k = 1..n - 2$ .

д)  $n - 3$  уравнений имеют вид:

$$-\frac{b^2}{R}k_{3,n}k_{n+1-k,n} + k_{2,n+1-k} + k_{3,n-k} - a_2k_{n+1-k,n} - a_{n+1-k}k_{3,n} = 0 \quad (15)$$

где  $k = 1..n - 3$ .

2) В достаточной системе уравнений, на основе которой определяется матрица усиления регулятора, последние имеют следующий вид:

$$\begin{aligned} \frac{q_k}{2} - \frac{b^2}{2R}k_{k,n}^2 + k_{k-1,k} - a_{k-1}k_{k,n} &= 0 \quad k = 1..n, \\ -\frac{b^2}{R}k_{1,n}k_{n+1-k,n} + k_{1,n-k} - a_0k_{n+1-k,n} - a_{n-k}k_{1,n} &= 0 \quad k = n - 2, \text{ при } n \geq 3, \\ -\frac{b^2}{R}k_{2,n}k_{n+1-k,n} + k_{1,n+1-k} + k_{2,n-k} - a_1k_{n+1-k,n} - a_{n-k}k_{2,n} &= 0 \\ & \quad k = 1, \text{ при } n = 4. \end{aligned} \quad (16)$$

### Экспериментальные исследования теоретических результатов

Экспериментальные исследования теоретических результатов были выполнены путем их компьютерного моделирования в стандартной среде MathCAD 13.

1) В статье приведены результаты экспериментальных исследований для следующего объекта 3-го порядка:

$$\begin{aligned} \dot{x} &= \begin{bmatrix} 0 & 1 & 0 \\ 0 & 0 & 1 \\ -1 & -2 & -2 \end{bmatrix} x(t) + \begin{bmatrix} 0 \\ 0 \\ 2 \end{bmatrix} u(t) + \begin{bmatrix} 0 \\ 0 \\ 1 \end{bmatrix} w(t), \\ y(t) &= [1 \ 0 \ 0] x(t) + v(t). \end{aligned} \quad (17)$$

при “белых” помехах с интенсивностями  $Q_w = 0, 3, R_v = 0, 3$ .

2) Рассогласование начальных условий переменных состояния объекта и фильтра – нормальное центрированное распределение с  $\sigma_{\varepsilon(0)} = 5$  при выборке  $\{\varepsilon_1(0), \dots, \varepsilon_{100}(0)\}$ .

3) Для определения оценки качества управления использованы меры:

$$I_{u_i}^- \int_0^\infty R(u_i)^2(t)dt, \quad I_i^- \int_0^\infty [(x_i)^T Q x_i + R(u_i)^2(t)] dt \quad (18)$$

где  $i$  – номер элемента выборки.

4) Для сравнения эффективности калмановского и улучшенного решений задач управления использованы следующие меры:

$$\alpha_u = \frac{\sum_{i=0}^N I_{ui}^K}{\sum_{i=0}^N I_{ui}^y}, \quad (19)$$

$$\alpha = \frac{\sum_{i=0}^N I_i^K}{\sum_{i=0}^N I_i^y}, \quad (20)$$

где  $K$  – индекс калмановского решения, а  $y$  – улучшенного решения.

Коэффициенты матрицы усиления регулятора  $K$  для указанного объекта 3-го порядка были найдены по предложенному выше алгоритму и имеют следующие значения:

$$K = [ -0.62 \quad -1.48 \quad -0.87 ] \quad (21)$$

Ниже приводятся результаты компьютерного моделирования данной системы с использованием матрицы усиления регулятора  $K$  найденной по указанному алгоритму.

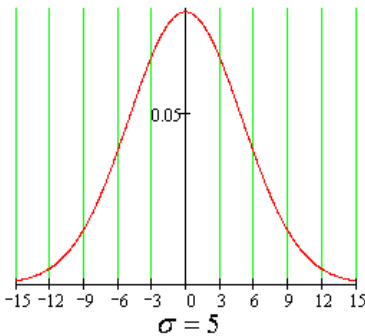


Рис. 1 – Распределение плотности вероятности рассогласования начальных условий переменных состояния объекта и фильтра, используемый для генерации выборки  $\{\varepsilon_1(0), \dots, \varepsilon_{100}(0)\}$

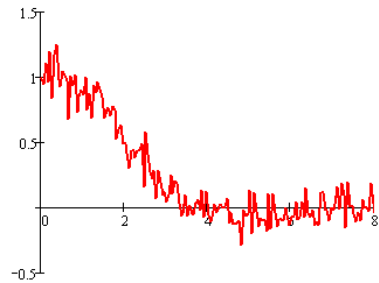


Рис. 2 – Конкретная реализация выходной величины измерителя выхода объекта управления

Результаты экспериментальных исследований убедительно показывает эффективность предложенного варианта решения задачи оптимального управления.

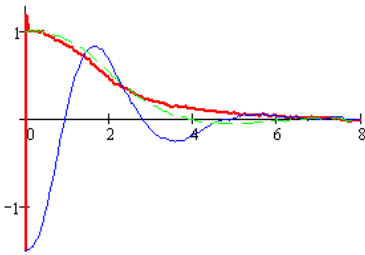


Рис. 3 – Конкретные реализации первой компоненты вектора переменных состояния объекта при отсутствии помех (зеленый пунктир) и управляемых калмановской (синий) и улучшенной (красный жирный) оценок первой переменной состояния объекта при наличии помех

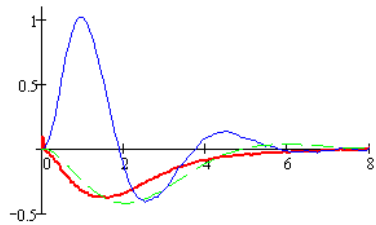


Рис. 4 – Конкретные реализации неуправляемой второй компоненты вектора переменных состояния объекта при отсутствии помех (зеленый пунктир) и управляемых калмановской (синий) и улучшенной (красный жирный) оценок второй переменной состояния объекта при наличии помех

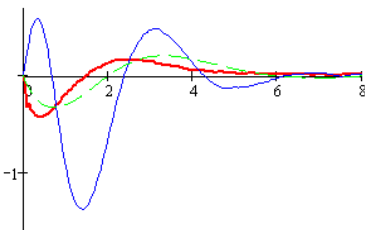


Рис. 5 – Конкретные реализации неуправляемой третьей компоненты вектора переменных состояния объекта при отсутствии помех (зеленый пунктир) и управляемых калмановской (синий) и улучшенной (красный жирный) оценок второй переменной состояния объекта при наличии помех.

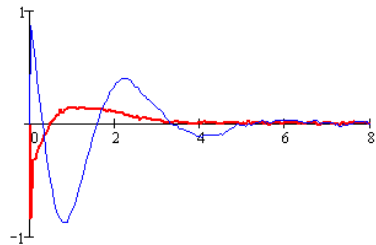


Рис. 6 – Конкретные реализации управления при использовании в регуляторе фильтра Калмана (синий) и улучшенного фильтра для объекта (красный).

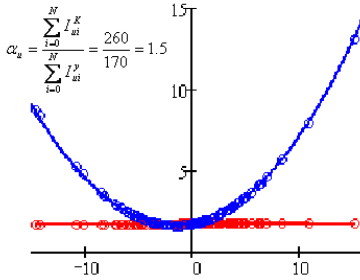


Рис. 7 – Графики критериев качества управления при использовании в регуляторе фильтра Калмана (синий) и улучшенного фильтра (красный) для объекта.

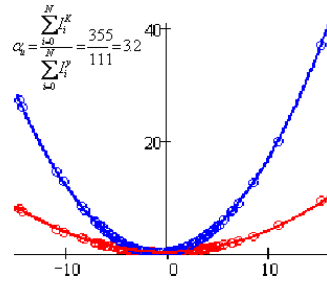


Рис. 8 – Графики критериев качества объекта при использовании фильтра Калмана (синий) и улучшенного фильтра (красный) для объекта.

### Выводы

1. Предложенная методика определения коэффициентов матрицы усиления регулятора позволяет упростить процедуру их нахождения.
2. Замена в регуляторе фильтра Калмана разработанным авторами статьи фильтром переменных состояния позволяют значительно улучшить интегральную эффективность решения задачи управления.

### Литература

1. Kalman R.E. The theory of Optimal Control and the Calculus of Variations. Mathematical Optimization Techniques // University of California Press, Berkeley – 1963.
2. Кику А.Г., Рева Е.Ю. Компенсация влияния рассогласования начальных условий фильтров переменных состояния // Адаптивные системы автоматического управления.-2006.- 9 (29),С.55-61.
3. Кику А.Г., Рева Е.Ю. Синтез фильтров переменных состояния на основе оценок рассогласования начальных условий // Адаптивные системы автоматического управления.-2007.- 10 (30),С.63-68.

*Получено 05.11.2007*